

声学译丛之四

建筑声学

上海市物理学会声学工作委员会 主编

上海市科学技术翻译馆

声学译丛之四
建筑声学

上海市物理学会声学工作委员会主编

上海市科学技术翻译馆出版

(上海市南昌路59号)

新华书店上海发行所发行 各地新华书店经售

商务印书馆上海厂印刷

开本 787×1092 1/16 印张 9 3/4 字数 300,000
1962年11月第1版 1962年11月第1次印刷
印数 1-1,000

编 号：5007·55

定 价：2.00 元

編者的話

声学譯丛自开始編譯以来这已是第四輯了。本輯以建筑声学为专题。在这一輯中理論性和实用性的文章都有一些。有关于新問題和新发展的文章，例如“在吸收不均匀分布情况下比較精确的混响公式”、“內阻尼极高的材料”和“新型高隔声輕质墙”等；也有一些一般原理和总结性的文章，例如“1929年以来测量吸声材料的声学性能方法的进展”、“建筑物的声幅射問題”、“固体声过程的計算”、“撞击声的发生与隔絕”和“工业噪声研究現况”。此外也介紹了一些还未能肯定的看法，例如“語言扩声系統的評价”、“立体声重放”和“建筑声学中关于测量标准方法的問題”等。选题中大部分取自国外期刊和會議論文集等最近发表的文章，也有一些原則性和总结性文章虽然还是几年前的，而在今天仍有它的意义，因此亦有选入。資料包括俄、英、德、法四种文字，英文較多。总的来說，由于建筑声学的范围較广，同时限于篇幅，所以本輯并没有包括建筑声学的各个方面。例如对于管道噪声、城市及戶外噪声、測定技术等方面就沒有选题，有些方面却比較多一点，例如固体声、室內音质和吸声材料等。这些問題打算在以后各輯中再作适当的調整。

在編輯工作中，深感譯名和符号的統一很是重要。“声学术語”的出版已为这方面提供了不少方便，但是要逐步改进还得依靠大家的努力和关怀。为此我們拟对文中所出現的尚未肯定或值得推敲的術語在书末列出，便于大家一起来商榷确定，为今后增訂“声学术語”积累資料。此外，中国科学院电子学研究所曾在1961年9月提出了一个“声学常用統一符号”，我們认为这个方案很好也很及时，在征得有关方面同意后列于本輯之末，供大家参考。本輯中所列单位一律为公制，凡原文为英制者均已换算，有些图表也重新繪制，以便利讀者。

本輯的組稿工作得到本市和外地許多单位和个人的协作和支持，对我們的工作、选题和譯文提出了宝贵的意見，这些都使我們对办好譯丛增加了信心。由于篇幅关系，有些譯稿只能安排在下次專輯中，这一点請譯者鉴諒。

声学譯丛的出版工作还只是初創阶段，因此缺点可能更多一些，希望讀者随时对我們的工作多多指正。

上海市物理学会声学工作委員會

本輯执行編輯 章启馥 (同济大学)
王季卿

1962年8月

目 录

1. 建筑声学中的几个新問題..... B. B. Фурдеев (1)
2. 大型音乐厅中听众和座位的吸收 L. L. Beranek (11)
3. 每座所占容积和混响時間随听众人数的变化 J. R. Carbonell 等 (19)
4. 在吸声不均匀分布情况下,比較精确的混响公式..... D. Fitzroy (22)
5. Tanglewood 音乐棚的乐队圍屏和頂盖 F. R. Johnson 等 (26)
6. 电台播音室的改进設計 L. L. Beranek (31)
7. 大型录音館与音乐厅的音质 T. Somerville 等 (44)
8. 录音室設計中的声学問題..... M. Rettinger (57)
9. 語言扩音系統的評价 L. L. Beranek (63)
10. 立体声重放 H. F. Olson (71)
11. 混响声場中的干涉图案 R. V. Waterhouse (74)
12. 建筑声学中关于测量标准方法的問題 R. V. Waterhouse (86)
13. 建筑物的声輻射問題 J. Brillouin (89)
14. 固体声过程的計算 L. Cremer (99)
15. 撞击声的发生与隔絕 K. Gösele (108)
16. 国际間混响室中的比較性测量 W. C. Kosten (115)
17. 1929 年以来测量吸声材料的声学特性方法的进展 F. G. Tyzzer 等 (128)
18. 新型高隔声輕质墙 G. Kurtze (134)
19. 內阻尼极高的材料 E. H. Oberst (137)
20. 工业噪声研究現况 A. Glorig (149)

1. 建筑声学中的几个新問題

В. В. Фурдуев 著 陈 通譯 倪乃琛校

Архитектурная Акустика (Труды научно-технического совещания
в Москве 1959г.) Стр.5~27 (1961) [俄文]

大空間的室內声学方面的研究，特別在战后几年来，获得了下列一些重要結論：

1. 最佳声学条件和自然声的特殊性质有着很重大的关系，它不但对語言和音乐有很大的差别，并且对于不同性质和风格的音乐作品也极不相同。例如，由实验所得的最佳混响时间和音乐性质的关系有相当大的变化范围（1.5到2.1秒），并且和传统的观念相反，当房間体积大于2000~3000米³时，它实际上和房間的体积无关。

2. 在大的厅堂中，混响时间和它的频率特性时常失去作为单值地决定房間音质基本评价标准的意义。使混响时间接近于最佳值（对于一定形式的发声）可能是必要的，但这絕不是厅堂良好音质的充分条件。

3. 反射声（回声訊号）的时间结构决定于各反射声相对于原始訊号（直接声）的声级和延迟时间，最初几次反射声的时间结构对語言的听觉和对音乐的音质有很大的影响。这和将混响訊号的时间结构分为性质上不等同的两个部分是有关的。第一（起始的）部分包括延迟比較少的回声訊号；它起着有利的作用，加强原始訊号并使发声丰满。第二（滞后的）部分虽然使听觉上形成房間的空間感觉，但是，当它的声级不够低时，会对听声产生显著的干扰从而使所听到的訊号质量明确度降低。因此，混响訊号时间结构的滞后部分不能同起始部分那样被认为是有利的。

4. 室內声場的扩散程度——即声能量流以不同方向到达接收点并接近于均匀分布的程度——具有一定的意义（虽然在这方面研究得还很少）。經驗表明，为了得到优良的音质，在音乐厅和大型音乐播音室內有相当的扩散程度是必要的。

在給予这些科学研究成果和实际經驗的总结以十分肯定的评价的同时，不能忽略从而提出的一系列的新問題，迄今为止，这些問題还没有得到完滿的解答。室內声学的最佳条件决定于自然发声的哪些性质或特征还没有被搞清楚，因此，在确定这些条

件和提供满足它的一般法则方面是存在着困难的。还没有为众所公认的大型厅堂的音质评价标准，这些评价标准和混响时间及其频率特性应该能够同时使我们肯定地判断音质的好坏。人們还不知道应当如何决定混响訊号时间结构中有利部分的持续时间，和在怎样的客观标志的基础上来确定在这时间结构中的起始和滞后部分的界限。最后，我們还没有找出实用上簡便的声場扩散程度定量、度量的定义和尽可能简单的测量方法。

这里所提出的問題是对于进一步发展建筑声学 and 圓滿地解决实际問題的科学研究的最重要方向。下面将叙述在这些方向上科学研究工作的一些結果。

信号的統計特性和它在建筑声学中的意义

理論研究

在房間中，訊号的最佳感受条件，由表示自然发声（語言和音乐）的哪些性质所确定，这个問題无疑是非常复杂的，因为这些条件不只和室內声場的瞬态物理特性有关，并且还和心理生理及审美上的主观因素有关。然而，可以认为这方面研究工作的第一阶段是研究問題的純粹物理方面，因为，主观欣赏的评价只有在它和任何客观量的测定数值有联系时才能在实际上得到应用，当然，这些客观的测定量是按照总的研究問題而选定的。

在室內，声信号的感受可以看成是信息傳輸的特殊情况，声源是信息源，而听众或傳声器是接收器。从現代信息論的基本概念来看，对傳輸系統（在我們的情形下，这个系統是被具有已知物理特性的界面所包圍的房間的空間体积）作质量的评价时，必須考虑到随机过程的統計特性，这里，随机过程是指任何具有信息荷載的訊号，特別是語言和音乐。

下面将指出，在建筑声学的問題中，合理的是不去研究訊号函数本身的統計特性，而是研究变化慢

得多的、和訊号有关的时间随机函数。首先討論这类函数之一，即訊号平均功率的即时值。

設 $f(t)$ 是時間的随机函数，代表声訊号；訊号的功率决定于适当地規定的訊号函数均方值，它可以表示为和時間有关的随机函数

$$P(t) = \frac{1}{T} \int_{-\infty}^t e^{-\frac{t-x}{T}} f^2(x) dx \quad (1)$$

式中，乘子

$$\frac{1}{T} e^{-\frac{t-x}{T}} \quad (x \leq t)$$

是加权函数，加在訊号 $f(t)$ 的过去值上，訊号过去的時間愈长，相对的加权值就愈小，即对平均功率的即时值对应于現在時間 t 的一瞬刻的影响愈来愈小。加权函数中的時間常数 T 是訊号接收器的积分能力特性。

在尺度足够大并且可以正确地运用几何声学方法的房間中，在接收点处的訊号 $f(t)$ 可以用(在某些簡化的假設下)由声源所辐射的直接訊号 $\varphi(t)$ 及其所有滞后于它的重复訊号之和来表示，由于从界面表面每一次的反射有不可避免的能量損失，重复訊号的声級平均地讲是随着滞后時間的增加而減小的即

$$f(t) = \sum_{i=0}^{\infty} \beta_i \varphi(t - \tau_i) \quad (2)$$

这里， τ_i 是第 i 次回声訊号的延緩時間，而 β_i 是乘子，表示在混响过程中衰減效应的特征；可以假設 $\tau_0 = 0$ 和 $\beta_0 = 1$ ，这样并不失去一般性的意义。將式(2)代入式(1)，則得

$$P(t) = \sum_{i=0}^{\infty} \beta_i^2 r_{ii}(t) + 2 \sum_{i=0}^{\infty} \beta_i \sum_{k=i+1}^{\infty} \beta_k r_{ik}(t) \quad (3)$$

式中，

$$r_{ii}(t) = \frac{1}{T} \int_{-\infty}^t e^{-\frac{t-x}{T}} \varphi^2(x - \tau_i) dx$$

是随机函数，表示(乘 β_i^2 以后)每一个回声訊号的平均功率的即时值，而

$$r_{ik}(t) = \frac{1}{T} \int_{-\infty}^t e^{-\frac{t-x}{T}} \varphi(x - \tau_i) \varphi(x - \tau_k) dx \quad (4)$$

是訊号在時間上移动了 $\tau_k - \tau_i$ 值时，訊号的即时自相关随机函数。

我們希望决定房間对声源辐射訊号 $\varphi(t)$ 的影响特性，为此，必須將随机函数(3)的某些特性和基本訊号平均功率即时值的同样特性 P_0 进行比较，此处

$$P_0(t) = r_{00}(t) = \frac{1}{T} \int_{-\infty}^t e^{-\frac{t-x}{T}} \varphi^2(x) dx$$

是假設在无限媒质的条件下声場同一点处所具有的訊号平均功率的即时值。

选用訊号的平均声級作为这些特性之一，也就是即时声級

$$N(t) = 10 \lg \frac{P(t)}{P_1}$$

的長時間平均值，式中， P_1 是相应于任意选定的零声級的功率。

預先注意到在表示式(3)中的第一个和是基本訊号及其所有后随的回声訊号的功率之和；这个和給出了在功率 $P(t)$ 中相应于不相干訊号单纯能量疊加情形的部分。式(3)中第二个(双重的)和决定了即时的干涉效应，这些干涉效应由回声訊号已知的相干程度所决定。在計算功率 $P(t)$ 的長時間平均值时，双重和所起的作用同第一个和相比是不大的，因为，甚至在時間推移很小的情况下到达的回声訊号具有較高的声級时，即时自相关函数的平均值和零也相差无几(在兩側)。順便指出，这种意見說明了“就平均意义上讲的不相干性”的想法，在基于能量疊加原理上的經典混响理論中就是这样假設的。于是，功率 $P(t)$ 的長時間平均值可以由下述量确定：

$$\bar{P} = \bar{P}_0 \left(1 + \sum_{i=1}^{\infty} \beta_i^2 \right)$$

式中， \bar{P}_0 是基本訊号 $\varphi(t)$ 的平均功率。

混响訊号的平均声級是

$$\begin{aligned} \bar{N} &= 10 \lg \frac{\bar{P}}{P_1} = 10 \lg \frac{\bar{P}_0}{P_1} + 10 \lg \left(1 + \sum_{i=1}^{\infty} \beta_i^2 \right) = \\ &= \bar{N}_0 + 10 \lg \left(1 + \sum_{i=1}^{\infty} \beta_i^2 \right), \end{aligned}$$

其中， \bar{N}_0 是基本訊号(直接声)的平均声級。由于房間的混响，这个訊号的总增益等于

$$\Delta N = \bar{N} - \bar{N}_0 = 10 \lg \left(1 + \sum_{i=1}^{\infty} \beta_i^2 \right) \quad (6)$$

这增益还不能說是有利的，因为，按照实验数据可知，只有延迟時間为 $\tau_i \leq \theta$ 的回声訊号的起始部分起着有利的作用，这里 θ 是混响訊号的時間結構中有利部分的持續時間。設 $\tau_n = \theta$ ，对于有利的增益可写成

$$\delta N = 10 \lg \left(1 + \sum_{i=1}^n \beta_i^2 \right)$$

于是，不希望有的增益剩余等于

$$\Delta N - \delta N = 10 \lg \frac{1 + \sum_{i=1}^{\infty} \beta_i^2}{1 + \sum_{i=1}^n \beta_i^2} = 10 \lg \frac{1}{D(\theta)} \quad (7)$$

式中，

$$D(\theta) = \frac{\int_0^\theta \varepsilon(t) dt}{\int_0^\infty \varepsilon(t) dt} = \frac{1 + \sum_{i=1}^n \beta_i^2}{1 + \sum_{i=1}^{\infty} \beta_i^2}$$

是近些年来提出的、作为局部音质评价标准之一的特征量,称为混响讯号的明确度;式(7)中的 $\varepsilon(t)$ 表示混响过程中声能的平均密度。

必须着重指出,为了估计房间质量的评价值标准明确度的应用,提出了混响讯号时间结构有利部分的持续时间 θ 值,而这些混响讯号的感受正是房间的功用。式(3)的结构直接指出决定这持续时间的客观因素。如果认为回声讯号的有利部分是指还和直接声或多或少地保持着强相关关系的那些讯号,则混响讯号有利部分的持续时间应等于时间推移的最大值 $\tau = \tau_n$, 这时,即时自相关函数

$$r_{\tau}(t) = \frac{1}{T} \int_{-\infty}^t e^{-\frac{t-x}{T}} \varphi(x) \varphi(x-\tau) dx, \quad (8)$$

在相当大部分的发声时间内还没有非常趋近零值。显然,量 $\theta = \tau_n$ 应和讯号 $\varphi(t)$ 的相干性间隔有关。函数(8)和函数(1)一样,是和讯号函数 $\varphi(t)$ 有关而缓慢变化的时间随机函数;研究它的统计特性,对于在音乐或语言发声时室内声过程的理论有重要的意义。

由于延缓时间 $\tau_i < \theta$ 的回声讯号叠加而产生的干涉效应,对于室内的讯号接收在某一程度上有重要的影响,它扩展了讯号的动态范围,并使随机函数 $P(t)$ 的一次分布形状更为倾斜。事实上,在个别的两个回声讯号叠加时,随时间而变化的互相加强的和减弱的效应使声级 $N(t)$ 的最大值增大而最小值减小;同时, $N(t)$ 值和平均声级 \bar{N} 有显著的差别,比基本讯号的即时声级 $N_0(t)$ 和它平均值 \bar{N}_0 的偏离更多。可以这样设想:我们应从这种效应去探索音乐发声丰满度的定量量度,而丰满度在良好音质的厅堂中是始终存在的。在听语言用的厅堂中,讯号有利的增强可能比一次分布的变换起着更重要的作用。

为了说明上述的想法,我们讨论随机函数 $P(t)$ 的方差,并和函数 $P_0(t)$ 的方差相比较, $P_0(t)$ 代表基本讯号的特性。再回到式(3)并假设(一次近似)随机函数 $r_{ii}(t)$ 相互间是无关系的,求混响讯号平均功率即时值的方差 $D[P]$:

$$D[P] = \sum_{i=0}^{\infty} \left\{ \beta_i^2 [D[r_{ii}]] + 2\beta_i^2 \sum_{k=i+1}^{\infty} \beta_k^2 M[(r_{ii}-m)(r_{kk}-m)] + 2\beta_i^2 \sum_{k=i+1}^{\infty} \beta_k^2 D[r_{ik}] \right\},$$

式中,

$$D[r_{ii}] = D[r_{00}] = D[P_0]$$

是基本讯号平均功率即时值的方差; $D[r_{ik}]$ 是即时自相关函数的方差,最后

$$M[(r_{ii}-m)(r_{kk}-m)] = k_{ik}$$

是随机函数 r_{ii} 和 r_{kk} 的相关矩(耦合矩), r_{ii} 及 r_{kk} 有相同的平均值 m , 当尾标 i 及 k 值相接近时不能认为它们是无关系的*。

所得结果可表示成

$$D[P] = D[P_0] \left(1 + \sum_{i=1}^{\infty} \beta_i^2 \right) + 2 \sum_{i=0}^{\infty} \beta_i^2 \sum_{k=i+1}^{\infty} \beta_k^2 (D[r_{ik}] + k_{ik}). \quad (9)$$

平均功率 $P(t)$ 方差的增大是和房间对讯号 $P(t)$ 的影响相联系的。从一方面来看,这增大是回声讯号叠加本身的因素所造成的必然结果,甚至当回声讯号间彼此不相关时也是如此。事实上,几个独立的随机函数之和的方差永远大于每一个分量的方差;函数 $\varphi(t)$ 方差的增大值相应于上述的部分由下列关系确定:

$$\frac{D[P]}{D[P_0]} = 1 + \sum_{i=1}^{\infty} \beta_i^2,$$

如果假设 $r_{ik} = 0$ 及 $k_{ik} = 0$, 由式(9)可得出这关系式。从另一方面来看,回声讯号的相干性使 $D[P]$ 又有所增大,增大的量是式(9)中双重和的部分。

应当指出,从新观点所得到的结果阐明了先到达的回声讯号的作用,这些回声讯号组成混响讯号时间结构中的有利部分。问题在于在式(2)中减弱系数序列 β_1, β_2, \dots 仅就平均的意义上讲是随尾标的增大而减小的。这序列起始部分的个别项甚至可能大于1,例如,当直接声显著的掠射吸收或是由于几个回声讯号在同一时间内到达时的情况就是这样的。因此,随机函数 $P(t)$ 一次分布的变换可能仅由回声讯号的起始部分所引起,对于这些回声讯号, β_i 和 $\beta_j \beta_k$ 诸量在数值上将不能予以略去。

方差 $D[P]$ 的增大还不能同时决定所观察到的混响讯号动态范围的扩展,因为,方差和动态范围间的关系与一次分布的特性有关。下述的情形是可能的:即在音乐发声质量的主观评价中甚至当动态范围扩展得不大时,一次分布的变换也起着重要的作用。

当然,所有这些想法还不能被认为是室内声学过程的完善理论;为了探讨这理论,首先必须积累关于语言和音乐的即时自相关函数统计特性的大量实验数据。然而,相关性的理论(原始的概念如上所述)能使我们初步考虑到各种不同自然发声的典型

* 这里符号 $M[\]$ 表示数学期望。

統計性质，而这性质决定了在室内听觉感受它們的不同条件。因此，相关性方法的发展可以认为是建筑声学中对基本問題作进一步理論分析的新的和重要的阶段。

一些实验結果

为了研究即时自相关函数的統計性质，由 C. П. 克列契麦尔做成了測量设备，设备的方框图如图 1 所示。磁录声机 M_0 是訊号源，用于发声試样的放声。放声訊号轉录在两录声机 M_1 和 M_2 上，其中之一 (M_2) 有延时设备使它的輸出訊号相对于另一录声机的放声訊号有时间为 τ 的延迟。訊号 $\varphi(t)$ 和 $\varphi(t-\tau)$ 加到相关器(具有积分电路的电子乘积线路)的两个輸入端上；輸出电压和訊号 $\varphi(t)$ 的即时自相关函数(8)成正比，用回綫示波器連續地記錄在光敏紙上。延时设备可使 τ 在 0 到 0.56 秒的範圍內均匀地变化。

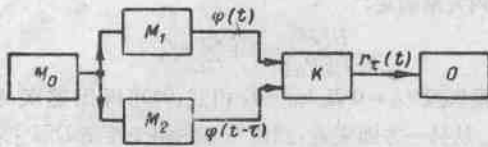


图 1 測量自相关性的方框图

选择語言即时自相关性的研究作为第一个实验課題，因为語言訊号的动态范围不大，均匀性的界限不长(一分钟左右)，和音乐訊号相比它是統計分析中最简单的对象。术语「均匀性界限」应被理解为得出統計規律所需的最小訊号的持續時間。加权函数的

時間常数 T 选用 30 毫秒，以便在研究即时干涉效应时，从不感兴趣的声頻分量中将慢变化的即时自相关函数分量分离出去。

研究了語言訊号的两个試样(男声和女声，讀同样的文章并保持有語意的声調和間断)，确定了在不同的延迟時間情况下，即时自相关函数的下述統計特性：

1. 随机函数 $r_\tau(t)$ 值的概率密度 $w_\tau(r)$ (一次分布)。

2. 概率分布的积分定律

$$W_\tau(r_1) = \int_{-r_1}^{r_1} w_\tau(r) dr, \quad (10)$$

它决定函数 $r_\tau(t)$ 的绝对值不超过某值 r_1 的訊号持續時間的百分数。

3. 相干系数

$$\mu(\tau) = \frac{R(\tau)}{R(0)}, \quad (11)$$

式中：

$$R(\tau) = \left[\frac{1}{T_0} \int_{-T_0/2}^{T_0/2} r_\tau^2(t) dt \right]^{1/2} \quad (12)$$

是在給定時間推移 τ 值下即时自相关函数的長時間均方值；当然，平均時間 T_0 应足够大，使 $R(\tau)$ 值和时间間隔 T_0 在時間軸上的位置无关。

图 2 表示在三个 τ 值下，一次分布 $w_\tau(r)$ 的图形。当 $\tau=0$ 时，图形表示語言訊号平均功率的即时值的分布；在函数 $r_0(t)$ 值小的区域內的极大值，一方面說明了語言訊号有大的「間断性」(到 25~30%)，而另一方面則說明了大的 $r_0(t)$ 值所占的持續時間是很短的。还应注意到一个事实，即从很小的時間

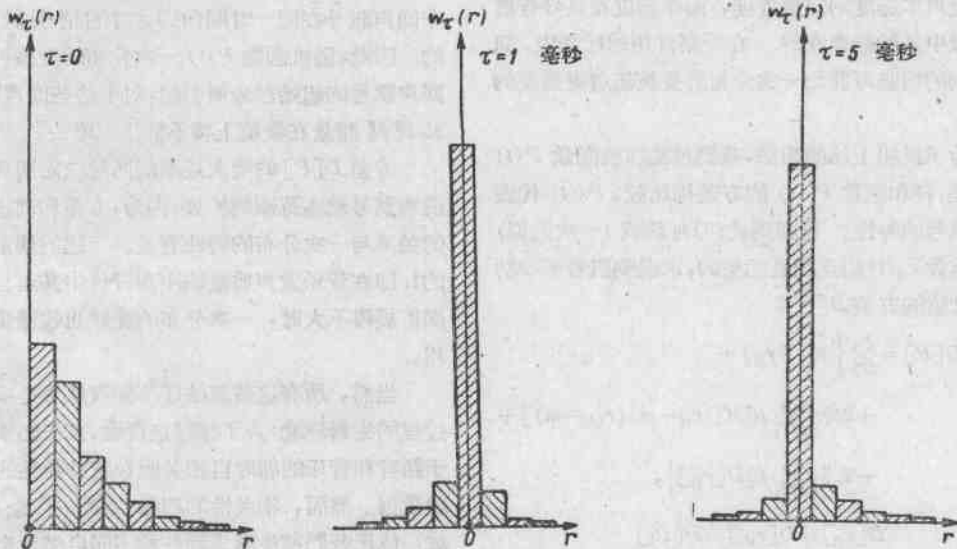


图 2 当 $\tau=0$, $\tau=1$ 毫秒和 $\tau=5$ 毫秒时，語言自相关性的一次分布

推移值开始,分布 $w_r(r)$ 就明显地集中在零附近,这可从推移为 1 毫秒和 5 毫秒的图形中看出。根据这事实,可以认为在语言讯号中当时间推移由零增到 1 毫秒时,相关性的联系就很快地减弱。当 τ 继续增大时,这种联系的减弱就慢得多并在某种不大的程度上保持到某些偏移值时为止,在这种偏移的情况下即时自相关性只可能是由于相同语音叠加的结果;显然,在足够长的讯号中相同的语音可以用任何大的时间间隔来彼此分开。比较图 3 中的两个分布,可以证明这种假设的正确性。图中左图表示 $\tau=80$ 毫秒时语言即时自相关性的一次分布;在这种情形下,增加一个和基本讯号声级相等的延迟重复讯号在听觉上就明显地产生回声的感觉。右图表示用同一语音读不同内容的文章时,两个语言讯号 $\varphi_1(t)$ 和 $\varphi_2(t)$ 即时互相关函数的分布

$$r_{12}(t) = \frac{1}{T} \int_{-\infty}^t e^{-\frac{t-x}{T}} \varphi_1(x) \varphi_2(x) dx,$$

从比较的结果可知这两个分布的差别很小。这说明当推移为 80 毫秒时,语言讯号和它的延迟重复讯号实际上应被认为是不相干的,(虽然它们之间还有不大的相关联系)。

图 4 表示在不同时间推移值下,相应于定义(10)的概率分布积分定律。曲线的纵座标给出即时自相关函数不超过横座标上数值时的概率;横座标值用毫米表示,因为在用相关图作统计加工数据的过程中,它的纵坐标是在毫米坐标纸上量度的。当 $\tau=80$ 毫秒时, $r_1=2.5$ 毫米(大致相当于 $|r_r(t)|$ 最

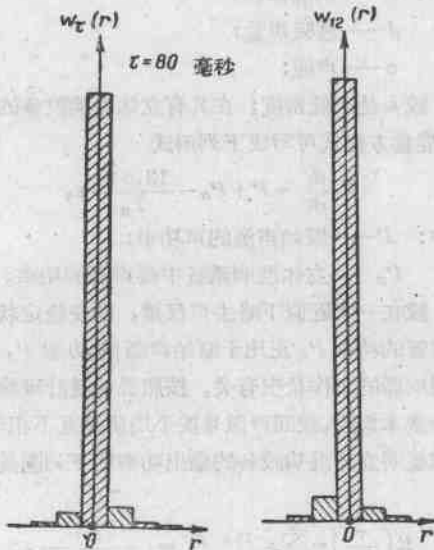


图 3 $\tau=80$ 毫秒时,语言自相关性的一次分布和两个不同语言讯号互相关性的分布

大值的 5%) 所占的时间不超过总发声时间的 90% 左右;当 $\tau=40$ 毫秒时,这数字降到 80%,仍然相当的大。

比较图 4 中的曲线可知,语言的即时自相关函数的统计性质正是在延迟很短的区域内有重要的变化。在从 5 到 80 毫秒的范围内,概率分布积分定律的变化比在从零到 5 毫秒范围内的变化要小得多。这同相干系数(11)和延迟时间的关系(见图 5)完全是对应的。这系数在时间推移值小时就很快地减小;当 $\tau > 10$ 毫秒时,相干性只发生缓慢的减小并逐渐趋近于一常数(约为 0.2~0.25),这常数表征两个无关的语言讯号的互相关性。

根据实验所得的数据,可以使我们认为相干系数减小到上述的下限时,时间推移近似地等于 70 毫秒;这数值可采用为语言讯号的相干间隔。

有趣的是这个数值和著名的哈斯实验中的延迟时间很接近,对于这样的延迟时间,当同时听语言讯号和等声级的延迟重复讯号时,50% 的听者感到有干扰。按照哈斯的数据,这种干扰的 50% 察觉度的限度和 68 毫秒的时间推移(语言速度为每秒钟 5.3 个音节)相对应。

虽然这里所引用的只是初步的结果,并且需要通过相当多的各种不同语言讯号试样的研究使它准确化,但这已经使我们作出一些实用上的结论。例如,可以认为混响语言讯号有利部分的持续时间大约是 40 毫秒。这数值(已凑成整数)比相干间隔小一半;当 $\tau=40$ 毫秒时,相干系数在所有情形下都小于 0.3。

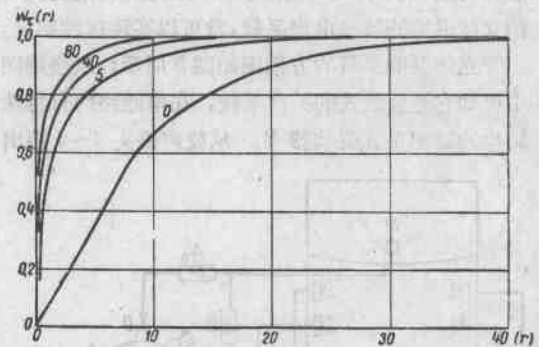


图 4 自相关性概率分布的积分定律

其次,在扩声系统中由几个扬声器同时发声的区域内,声场声级是按讯号能量迭加的原理进行计算的,即时自相关函数的长时间平均值甚至在时间推移很小时就趋近于零的这一事实,为这种计算方法提供了确切的依据。这不仅和具有各种不同的延

迟反射讯号(使上述所谓“就平均意义上讲的不相干性”成立)的室内声场声级有关,并且也和室外空间中少量的讯号迭加时的情形有关。由直接测量可知,语言的响度级在存在声级相等的外加延迟讯号时增加3分,甚至当延迟很短(小于10毫秒)时也是如此,这个现象也得到了解释。

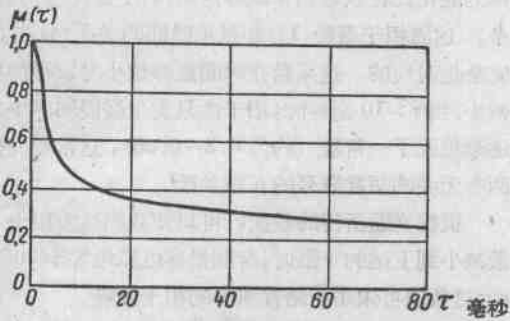


图5 语言讯号的相干系数

立体混响的理论和技术

在室内,声学最佳条件和所听自然发声的种类及特性有关,这就促使我们采用折衷的解决办法来选择这些条件,解决的方向是使房间性质和某些尽可能多的讯号类型的统计特性相协调。这是最简单的办法,事实上直到现在还为音乐厅和音乐播音室的音质设计所运用。另一个比较进步的办法是:找出有效地控制厅堂音质的方法,尽可能地影响混响过程的时间进程和室内声场的性质,使它和演出作品的特性、形式和旋律作最佳的协调。利用现代所谓立体混响的特殊电声系统,就可以实现这种要求。

立体混响系统的方框图如图5所示;从线路图中可知它是分散式的扩声系统,在电通路内有特殊结构的磁记录式混响器R。从放声磁头1~4得出

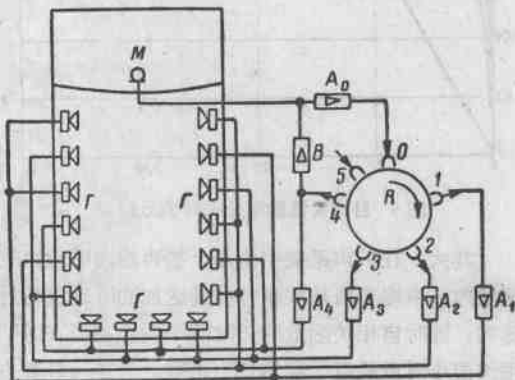


图6 立体混响系统方框图

无限的衰减回声讯号序列以模拟发声的过程,放声磁头放在录声磁头0和消声磁头5之间,从最后的放声磁头引出反馈讯号回输到录声放大器A0的输入端。回声讯号级随着延迟时间的增加按线性律衰减;衰减的速度可以在足够大的范围内用放声通道A1~A4内统调的放大率调整器予以改变,或通过重复放大器B改变反馈的深度。由传声器M接收的原始讯号送到混响器的输入端;由混响器产生的混响声通过分散在厅堂内的扬声器以不同的声级I放出。

厅堂内的扬声器分成许多组,组的数目和放声通道的数目相应;分组系按照第一个加到它们上面的回声讯号的延迟时间来实行的。在使用这种系统的情形下,由人工产生并用电调整的混响和房间固有的混响相加以实现对厅堂音质的控制,这时,不仅使用了对混响时间和总(立体的)混响的频率特性起作用的方法以控制音质,并且还由于提高了声场的扩散程度,因此对于先到达的回声讯号的时间结构产生了必然的影响。

在对各种形式自然发声的应用中,分析立体混响对房间音质的各种影响是很困难的,这在总结和积累立体混响系统使用的经验之前未必是可能的。根据赛宾的近似理论来研究立体混响对发声时间过程的作用是比较简单的,其中,房间固有的混响时间Tn决定于赛宾的简化公式

$$T_n = 13.8 \frac{4V}{cA}$$

式中:V——房间体积;

A——总吸声量;

c——声速;

设ε是声能密度;在具有立体混响设备的厅堂中,能量方程式可写成下列形式

$$V \frac{d\varepsilon}{dt} = P + P_a - \frac{13.8V}{T_n} \varepsilon, \quad (13)$$

式中:P——原始声源的声功率;

P_a——立体混响系统中扬声器的功率。

设在一次近似下略去声反馈,则在稳定状况下扬声器的功率P_a正比于原始声源的功率P,并且和混响器的工作状况有关。按照混响统计理论中的一个基本假设,设回声讯号按平均讲是互不相干的,可以证明立体混响设备的输出功率和下列函数成正比

$$R\left(\frac{\tau}{T_n}\right) = \sum_{n=0}^{\infty} e^{-13.8 \frac{n\tau}{T_n}} = \frac{1}{1 - e^{-13.8 \frac{\tau}{T_n}}}$$

式中,τ——回声讯号间的平均时间推移;

T_u ——人工混响时间。

于是,在稳定状况下 $P_a = kRP$, 当 $\frac{ds}{dt} = 0$ 时, 从方程式(13)得出

$$s = \varepsilon_0 = \frac{P T_n}{13.8V} (1+kR) \quad (14)$$

式中 k 是表征录声和放声通道中放大量的比例常数。

在混响过程中原始声源切断后, 扬声器的声功率随时间成指数衰减, 能量方程式(13)成为

$$\frac{ds}{dt} + \frac{13.8}{T_n} s = \frac{kRP}{V} e^{-13.8 \frac{t}{T_u}}$$

满足起始条件 ($t=0$ 时 $s=\varepsilon_0$) 的解可写成下列形式: 当 $T_n \neq T_u$ 时,

$$\varepsilon(t) = \frac{1}{T_u - T_n} \frac{P T_n}{13.8V} \left\{ k R T_u e^{-13.8 \frac{t}{T_n}} + [T_u - (1+kR)T_n] e^{-13.8 \frac{t}{T_u}} \right\}, \quad (15a)$$

当 $T_u = T_n = T_0$ 时,

$$\varepsilon(t) = \frac{P T_0}{13.8V} \left[1 + kR \left(1 + 13.8 \frac{t}{T_0} \right) \right] e^{-13.8 \frac{t}{T_0}} \quad (15b)$$

这解说明在一般情形下立体混响的过程并不按指数定律进行。只有在 $T_u = (1+kR)T_n$ 的情形下, 能级以恒定速度衰减并且立体混响的混响时间 $T = T_u$ 。然而, 在一般的情形下 T 可定义为在原始声源停止后, 声能密度从稳定值 $s = \varepsilon_0$ 开始下降 10 倍所需的时间。解(15)给出决定 T 的超越方程式, 它的分析可导致下列结论:

1. 当立体混响系统对增加能量的作用保持在能量密度稳定值不变时 ($kR = \text{常数}$), 时间 T 随 T_u 的增大而增加; 其中, 若 $T_u < (1+kR)T_n$ 时, $T > T_u$, 当 $T_u > (1+kR)T_n$ 时, $T < T_u$ 。重要的是: 甚至当立体混响设备的功率比较小不大时, 控制房间的音质

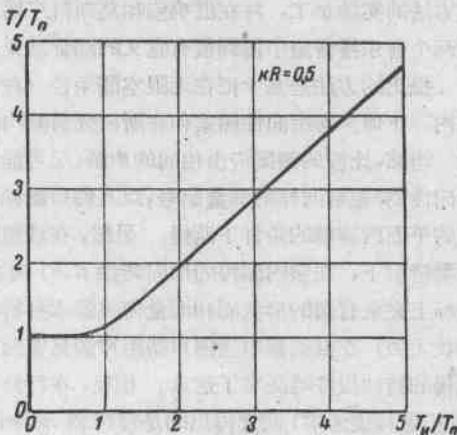


图7 T 和 T_u 的关系

还是有可能的。为了说明这个问题, 在图7上表示出当 $kR=0.5$ 时 T 和 T_u 的关系。在这情形下, 从(14)可知由立体混响产生的声放大率等于

$$N = 10 \lg (1+kR),$$

只相当于 2 分贝左右, 但是立体混响的混响时间 T 在 $T_u \geq 1.5 T_n$ 时已和 T_u 相差无几。此时, 听众对立体混响系统的工作是直接察觉不到的, 因此我们将系统调整到这种情况。

2. 当 $T_u = \text{常数}$ 时, 混响时间 T 随 kR 的增大而增大, 但增大得极小。由此可知, 为了控制立体混响的频率特性, 不应该在放大通道中加入电校正(在放大通道中它只对系数 k 有影响, 而对函数 R 没有影响因此对 T_u 也无影响), 而应当在反馈通道中加入校正使 T_u (也就是 T) 的频率特性曲线能具有所希望的形式。其中值得注意的是: 这校正使房间的固有混响在高频段相当大的降低有可能得到补偿, 这种不可避免的降低是由于在大体积厅堂中由于空气吸声所造成的。

3. 当 T_u 值不变时, 时间 T 随磁混响器中载体速度的增加而增大, 这是由于当 τ 减小时, 函数 R 增大。

根据由赛宾近似理论所发展的立体混响理论, 同样地可以研究声反馈通过扩散声场的影响; 减小声反馈对于系统的稳定性是有决定性的意义的, 因为立体混响显著地提高了扩散程度。研究表明, 当 $kR=0.5$ 时, 在满足下列条件下, 相对于自激阈的稳定度富余量不低于 6 分贝:

$$\frac{\Omega}{r^2} > 1.56 \cdot 10^3 \frac{T_n}{V}, \quad (16)$$

式中: Ω ——立体混响设备中传声器的指向性因数, r ——原始声源距传声器的平均距离(适当的估计)。

可以进一步指出, 声反馈使混响过程中声级的衰减速度逐渐减小。从某临界值开始, 这效果会导致立体混响设备“暴露”以及使音乐发声的音质降低的不良后果。

在莫斯科格聂欣音乐师范学院中的音乐厅里安装了实验性的立体混响设备, 由 A. Д. 斯卡洛夫和 H. C. 库兹明进行的声学测量证实了上述理论所说明的结论。在这音乐厅公开演出的音乐会上使用立体混响的经验表明了系统的工作是完全令人满意的; 为了更有效地应用它, 最好按条件(16)将厅堂的固有混响时间稍为减短些。

在通用的厅堂中, 需要造成对听语言和各种音

乐节目的最佳条件，立体混响系统必定会获得最广泛的应用。

室内声场扩散的测量

直到现在为止，对室内声场扩散程度的实验研究有两类测量和评价扩散的方法。

其中之一是 R. 梯雷所提出的，它采用强指向性传声器直接测量正比于各个方向的声能量流。声能量流的角度分布函数是研究的第一个结果，分布函数显明地表示在被象征性地称为“刺蝟”的空间图案上：在半球面上径向地插许多细棒，棒的间距相等，其长度和相应的传声器方向上所量得的声压平方成正比。扩散的定量量度可以采用由棒长所决定的随机变量的正则化离散特性有关的任意量；梯雷选用了平均绝对偏差作为这种特性。

另一方法是 C. Г. 盖尔什曼在建筑声学的测量技术中提出的，这方法是基于室内声场中相邻两点上所接收讯号的互相关性的研究。在声场的任何区域内，这两个讯号的相关系数是所选点间距离的某种函数，在一般情形下，当距离给定时，这函数和这两点连线线段的方向有关。对于统计性质已知的测量讯号（例如频带噪声），声场内两点所接收讯号的互相关函数在两种极端情形下在理论上是可预知的，这两种极端情形是行波场（在任何意义上都不是扩散的）和理想的各向同性场（在所有方向上能量流按时间的平均值相等），在相关性方法基础上作扩散程度评价的可能性就是和这种设想相联系的。在理想的扩散场中，互相关函数随接收点间距离的增加应迅速地趋近于零。在某些房间里，扩散程度的评价是根据由实验得出的相关函数和上述极端情形的对比而确定的。

两种方法在测量学上的根据和对所得结果的实用意义是无可怀疑的；但任一种方法的广泛应用在技术实践中都有困难。梯雷的方法不适于研究低于 1~2 千赫频率范围内的声场扩散，因为，实用上在这频率范围内不可能做出指向性足够尖锐的接收设备，而这对于决定声能量流的角度分布函数却是必需的。相关性方法要求有复杂的特殊设备以及两个电声接收通道的振幅-频率和相位-频率特性的严格协调。在高频率范围内，互相关性的测量遇到了传声器在这频带中没有指向性的困难。

在用相关性法测量扩散时，应注意所测声场的结构内总的或局部的对称性的存在对测量结果会有

很大影响。作为说明的例子，图 8 表示互相关系数 $\rho(r)$ 的两个测量结果和它与讯号接收点间距离 r 的关系。这两个测量是由 H. C. 康兹明在里加广播电台音乐播音室内中间部分所进行的；曲线 a 对应于传声器离开矩形播音室的纵对称轴两侧分开移动的情形；曲线 b 的测量是：一传声器保持在对称轴上不动，而另一垂直于对称轴移动。在第一种情形下，相关系数先随距离 r 的增加而减小，然后保持着趋近于 0.5 的常数值。在第二种情形下，相关性在同一声场范围内随 r 的增加而减小，逐渐趋近于零。完全可以理解，在第一种情形下相关系数有大的值并不说明声场有高度的扩散程度，而是证实了声场结构中对称性的存在；在理想的对称情形下，传声器离开对称轴的两侧移动时，相关系数等于 1 并和传声器间的距离无关。

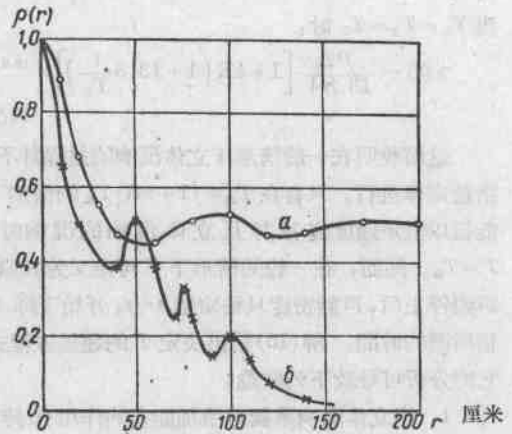


图 8 声场中两点上所接收讯号的互相关系数

室内声场扩散程度的测量和定量评价的比较简单的方法是由本文作者所提出的；后来陈通完成了这方法的实验加工，并在混响室和莫斯科广播电台的两个音乐播音室中得到很有意义的测量结果。

提出的方法是基于把在无限空间条件（在消声室内）下传声器指向性图案和在所研究房间内的对比。当然，比较的图案应由相同的声源（尽可能是无指向性的）辐射同样的测量讯号，以及传声器轴在相同的平面内旋转的条件下测得。显然，在理想的扩散场情形下，在室内测得的指向特性 $R(\theta)$ 应在极坐标上完全有圆的形状而和测量传声器本身特性的形状无关；在混响室中当传声器距声源足够远时所测得的特性很好地证实了这点。相反，在行波场中（即扩散程度为零）测量得出的是传声器本身的指向特性 $D(\theta)$ 。在实际的条件下，图形 $R(\theta)$ 介于单

位半徑的圓和正則化特性 $D(\theta)$ 之間, 如图 9, a 所示。

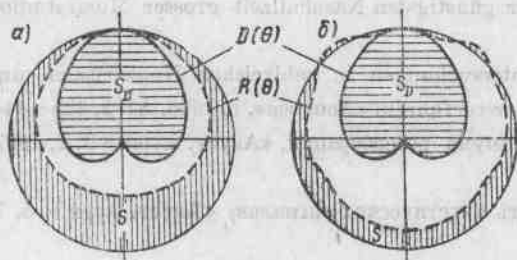


图 9 关于声場扩散系数的测量

在傳声器軸旋轉平面內所測的聲場扩散的度量可如下決定。設 $S_0 = \pi$ 是单位半徑圓的面积, S_D 是正則化特性 $D(\theta)$ 所包括的面积, 最后, S 是圓和正則化特性 $R(\theta)$ 間包括的面积。又設 $S_1 = S_0 - S_D$ 。可选下值

$$d = \frac{S_1 - S}{S_1} \quad (17)$$

作为在接收点上声場扩散的度量。

不难看出, 在理想的扩散場中 $S=0$ 和 $d=1$; 在行波場中 $S=S_1$ 和 $d=0$ 。在实际条件下, 所測定的值应在 $0 < d < 1$ 的範圍內。

在某些情形下, 特性 $R(\theta)$ 和圓可能相交 (图 9 b); 則面积 S 所有的部分 (圓內和圓外) 应以同样符号相加。

用指向性傳声器法研究扩散的經驗表明, 在低于 1000 赫的頻率範圍內, 采用倍频程帶寬的白噪声用作測量訊号最为适宜; 在更高的頻率, 即使用 $1/3$ 倍频程帶寬, 也可在傳声器放大器的輸出仪表上有稳定的指数。当然, 測量的結果和測量傳声器本身指向特性的選擇有关。然而, 使用电容傳声器 C-12 (它具有選擇各种特性 $D(\theta)$ 的可能性) 的測量表明,

在大多数情形下这关系并不显著。照例, 用心脏形指向特性更为合适, 它使这方法有足够的灵敏度。仅当在水平面和垂直面內的扩散程度存在显著的差别时, 就須選擇具有 8 字形指向性特性的压差式傳声器。

訊号源應該是无指向性的, 可以是安装在多面体上的揚声器組, 就如同其他建筑声学測量技术中所采用的一样。

在式 (17) 中的各面积可以极容易地用面积积分仪求出。

这里不拟对陈通所研究的播音室內声場扩散的實驗数据作仔細的分析, 而只說明一个有重要原則性意义的結果。从明显的物理意义可知, 室內声場扩散程度不能和混响時間有关, 并且, 在其他条件相等的情形下, 混响時間的增加会使扩散增加。然而, 扩散程度的測量只能在下述的情形下才能有意义, 即所測量的特性值和混响時間不是单值关系, 只有这样才能是独立的建筑声学的評價标准。只有在这情形下, 这評價标准的知識能在实质上补充关于房間音质和混响時間有关的信息。在不同頻率下, 两播音室內不同点上所进行的扩散測量可以用于 (虽然所做的測量次数不很多) 預先估計 d 及 T 值間的关系。

在图 10 上給出这些值的对比; 圈对应于 1 号播音室內的測量, 点对应于 2 号播音室內的測量。測量結果的組合, 正如所預期的一样, 发现 d 随 T 的增加而增大的某些趋势; 然而, 离散的程度是如此的大, 以致应认为这些值間只有弱的相关。因此, 用指向性傳声器法測量的声場扩散程度可以认为是和混响時間无关的局部評價标准。

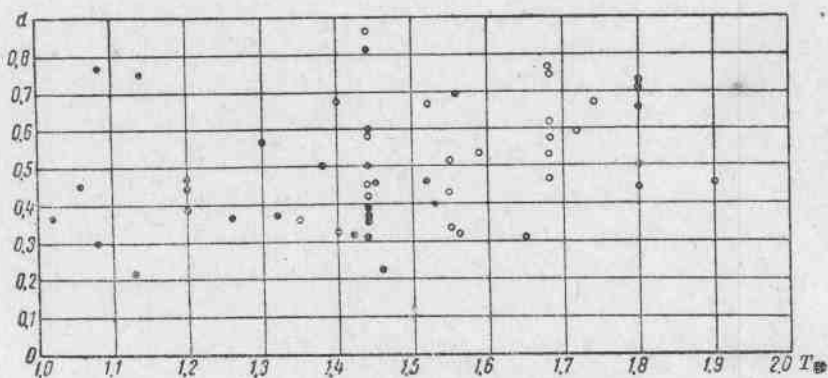
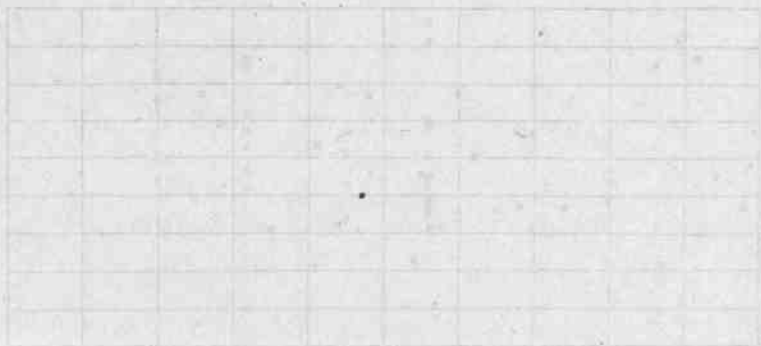


图 10 混响時間和扩散度間的关系

参 考 文 献

- [1] W. Kuhl, Über Versuche zur Ermittlung der günstigsten Nachhallzeit grosser Musikstudios, «Acustica», 4, 1954, AB 2, 618~634.
- [2] E. Meyer und R. Thiele, Raumakustische Untersuchungen in zahlreichen Konzertsälen und Rundfunkstudios unter Anwendung neuerer Messverfahren, «Acustica», 6, 1956, AB 2, 425~444.
- [3] В. В. Фурдуев, Корреляционный критерий оптимальности реверберации, «Акуст. журн.» 3, 1, 1957, 74~79.
- [4] В. В. Фурдуев, Интерференция и когерентность акустических сигналов, «Акуст. журн.» 5, 1, 1959, 111~116.
- [5] В. В. Фурдуев и С. И. Кречмер, Текущая автокорреляция речевого сигнала, в «100 лет со дня рождения А. С. Попова» книге, изд. АН СССР, 1960, 228~234.
- [6] С. И. Кречмер, Аппаратура для исследования статистических характеристик речи и музыки. (в «Архитектурная акустика» сборнике).
- [7] R. Vermeulen, Stereo-reverberation. «Philips Technical Review», 17, N 7~8, 1955~56, 258~266; J. Audio Eng. Soc., 6, 2, 1958, 124~130.
- [8] D. Kleis, Modern Acoustical Engineering, «Philips Technical Review», 20, N 11, 1958~59, 309~326; 21, N 2, 1959~60, 52~72.
- [9] В. В. Фурдуев, Современная техника искусственной реверберации, «техника кино и телевидения» 1960, № 9, 70~77.
- [10] А. Д. Скалов, Исследование амбиофонических систем (в «Архитектурная акустика» сборнике)
- [11] В. В. Фурдуев, Амбиофоническая реверберация, «Акуст. журн.» 6, 2, 1961.
- [12] В. В. Фурдуев, Обзор методов оценки и измерения диффузности звукового поля. «Акуст. журн.» 1, 4, 1955, 301~314.
- [13] С. Г. Гершман, Коэффициент корреляции как критерий акустического качества закрытого помещения, «Журн. техн. физ.», 21, 1951, 1492~1496.
- [14] R. K. Cook, R. V. Waterhouse, R. D. Berendt, S. Edelman and M. C. Thompson, Measurement of Correlation Coefficients in Reverberant Sound Fields, «J. Acoust. Soc. Am.» 27, 6, 1955, 1072~1077.
- [15] В. В. Фурдуев и Чен Тун, Измерение диффузности звукового поля в помещениях методом направленного микрофона; «Акуст. журн.» 5, 1, 1960, 107~115.



2. 大型音乐厅中听众和座位的吸收

Beranek, L. L. 著 吕如榆译 林寿南校

J. Acoust. Soc. Am., Vol. 32, p. 661~670 (1960) [英文]

引 言

直到现在,即使全部建筑设计资料齐全,还不能很精确地用现有公式来预计大厅最普通的声学特性,即混响时间,这可以从伦敦皇家节日音乐厅等大厅的技术报告获得证明^{[1]~[4]}。一般的情况是,设计的计算值要比实测值高出 0.3 到 0.5 秒。

很明显,自从 1895 年 W. C. Sabine (赛宾)从事于研究美国麻省剑桥市 Fogg 艺术宫的音质以来,情况是有改进的。他研究了五年后,提出了一个经典的混响方程式,并且他以很大的精力仔细地进行了有关音乐厅中主要材料的吸声系数的测定。这些材料在 512 赫时的吸收系数可从他的早期“混响”长篇论文中查出^[5],如表 1 所示。与今天的教科书和手册中公布的数值是非常接近的。但是, Sabine 原意想把这些数值应用在这样的混响方程式中去:

$$T = \frac{0.161V}{S\bar{\alpha}_{Sab} + 4mV} \quad (1)$$

式中 $4mV$ 一项,是经过很长时间后由 Knudsen (努特生)引入的^[6]。

在这个方程式中, V 是体积 (米³), S 是地面、平顶和墙面的总面积 (米²), 而 $\bar{\alpha}_{Sab}$ 是房间的平均吸收系数,它定义如下:

$$\bar{\alpha}_{Sab} = \frac{S_1\alpha_1 + S_2\alpha_2 + S_3\alpha_3 + \dots + N_1a_1 + N_2a_2}{S} \quad (2)$$

$$\text{式中: } S = S_1 + S_2 + S_3 + \dots (\text{米}^2) \quad (3)$$

S_1, S_2, S_3, \dots 等等是房间内各个表面的面积 (米²), $\alpha_1, \alpha_2, \alpha_3, \dots$ 等等是相应的表面吸收系数; a_1 是每一占人座位的总吸收 (米²); N_1 是占座的数目; a_2 是每一空座的总吸收 (米²); N_2 是空座数目。 m 是房间内分子吸收的衰减系数 (米⁻¹), 在 1500 赫以下, 它可以略去不计。

若采用 Norris-Eyring (诺列斯-艾润) 公式:^{[7]~[9]}*

$$T = 0.161 \frac{V}{S[-2.3 \log_{10}(1 - \bar{\alpha}_{Ey})] + 4mV} \quad (4)$$

要获得相同的 T 值时, 则 $\bar{\alpha}_{Ey}$ 因此即 (2) 式中 α 和 a 的每一值——必须比 $\bar{\alpha}_{Sab}$ 小 10% 到 15% 之谱。

Sabine 在他的那一篇论文中,曾发表 Jefferson (杰弗逊) 物理实验室讲演厅中测得的听众吸收值, 这些是以“每人”和“单位面积”作为依据的。可是他和后来的一些作者在公布的计算中却都是应用“每人”的概念, [应用 (2) 式中 $N_1\alpha_1$]。

值得注意的是: 当 Sabine 采用从他在上述讲演厅中测得的“每人”吸收值和吸收系数应用到他自己的混响公式来计算两个音乐厅满座的混响时间时, 发现他的计算值与实测值有很大的差别 (见表 1)。

表 1 1900 年 Sabine 计算的 500 赫满座混响时间和用近代设备实测值的比较表

大 厅	实 测 者	实 测 值	计 算 值	百 分 差
Leipzig 大厅 (现已毁)	Meyer and Cremer (1933)	1.6* 秒	2.30 秒	44%
Boston 交响乐大厅	Bolt, Beranek and Newman (1957)	1.8 秒	2.31 秒	23%

* 这个数值比原始报告高 10%, 因为 Kuhl 发现。德国的现有大厅在 Meyer 等人测试的那个时期测得的数据, 都大约要低 10%。

可以看出, 不但 Sabine 的计算结果不准确, 而且两个大厅的混响时间计算值与实测值的百分差也很不

* 这个公式 Eyring 最先在美国声学学会会刊上发表, 在此之前, Norris 在美国声学学会的会上报告过这个公式, 但据 Knudsen 引证, Waetzmann (瓦兹曼) 和 Schuster (萧斯脱) 的工作要比 Norris 以前。因此, 这公式应该称“Waetzmann-Schuster-Norris-Eyring 公式”, 不过一般简称“Norris-Eyring 公式”。

一样。百分差的不同，不能說因为大厅形状彼此有所差异，因为大厅的形状是十分相似的。此外，Sabine 的计算并没有误差，因为他的计算是经过詳細验证的^[5]。

本文的目的是要阐明从 Sabine 时代起一直到現在为止，仍然存在的计算值和实测值严重偏差的主要原因。并将证明，不是方程式 (1) 或 (4) 不对，而是 (2) 式所采用的听众吸收值计算方法具有缺陷。

經典假設和作者新的假設

在多数音乐厅中，听众的吸收占总的吸收百分比很大。从文献中可查出，在 500 赫时坐在座位上的听众的吸收量，是 0.29 甚至高达 0.6 赛(米²)的范围之間^{[1], [10]~[13]}。由于一个有經驗的听众对混响时间微小的改变，例如从 1.5 秒改变到 1.6 秒 (7%) 能够辨别出来，所以座位吸收值不正确的估计就会酿成混响计算值巨大的錯誤。(差不多 2:1)。

从十五个国家的四十几个大音乐厅里一些很广泛的声学测量結果，本文推导出較合理的听众吸收计算。因为所有大厅差不多具有相同的平均吸收系数，所以为方便起见，计算中所用的是較简单的 Sabine 混响公式。求出这样的吸收系数后，则只要减去此系数的 9% 到 12%，就可以得出适用于 Norris-Eyring 公式的数值。在本文中列出了适用于两种公式的系数表。

因为 Sabine 和 Norris-Eyring 公式都是在统计基础上来处理声场的，因此，有关 V/S 的比值，它们只取决于大厅的形状而已。本文中所研究的許多大厅，体积在 7,000 到 28,000 米³之間。这些大厅 V/S 的中值大約是 3 米。除个别很少数外， V/S 大都在 2.7 到 3.3 之間。

对沒有吸声材料装置的滿座大厅，在 1500 赫以下頻率时，方程式 (1) 可近似地簡化为： $T = 0.161 \times (V/N_1) (1/a_1)$ 。既然經典的假設是听众的吸收(即 a_1) 是与听众的人数成正比例的，所以混响时间的长短应该近似地与每座体积成正比。为此，許多作者对 V/S 的比值，(譬如 [13])，认为是决定估計最大混响时间的一个重要的评价标准。要檢驗“每座体积”这一概念方法很簡單，只要把一些大厅的实测混响时间对每座体积作出关系綫图，就可以看出了。图 1 所示可看出它們之間的关系很差。例如，每座体积在 5.6 米³至 9.6 米³之間的大厅的混响时间

都是 1.6 秒，又如每座体积在具有 6 米³ 至 10 米³ 之間也是 1.85 秒，根本与方程式 (1) 到 (4) 的意图相反。



图 1 滿座大厅中中頻 (500~1000 赫) 的混响时间对每座体积的图。其中有些大厅是加过少量多孔吸声材料的，但由此而引起混响时间的改变不会超过 0.1 秒。为计算精确起见，这些大厅沒有列入图 2。

因为图 1 所示的数据很分散，所以有很多人推测，大厅的混响时间有很大部分取决于它的形状，或者取决于相同面层材料在不同大厅中声学特性的差异，或者同时取决于两者。要是大厅形状能使混响时间有如图 1 所示有那样巨大的改变的话，那末对方程式 (1) 到 (4) 的现实性就有抵触，而 Sabine 和 Norris-Eyring 的计算方法应该放弃，或者要作主要方面的修正了。

但是可以相信，方程式 (1) 或 (4) 基本上是正确的，而且材料的吸声也不会随大厅的形状或各地材料的差异而有很大的变化，因此作者提出如下的新假設：在大型音乐厅中座位上的听众、合唱队或乐队的吸收量，是与他們所占的地面面积成正比而增加的，近似地与該面积上人数多少无关(假定人是均匀地分布的)。

本文初次写就后，作者想起了 Meyer 和 Jordan^[14] 的文章。他們曾經指出，在第二次大战前柏林 Philharmonie 大厅中測得的混响时间，不管听众出席是 50% 还是 100%，差不多是没有什么改变，即使座位沒有很高的吸收材料也是如此。这些实测数据是可以有效地支持上面的假設是符合实际情况的。

必須指出，本文所发表的一些数据，作者是按接近滿座情况考虑的，座位密度(包括过道)是在每人 0.42 到 0.8 米²之間。对有部分空座的情况並沒有研究。乐队的密度(包括乐器和乐譜架)是按每一演奏者占 1.1 到 1.9 米²之間计算的。

新假設的驗證

为了验证新的假设，我们把音乐厅的吸收分成两类：(1)听众、合唱队和乐队的吸收，(2)其余的吸收。如果我们现在只研究一些没有过大面积的多孔性吸声材料的大厅，则至少对500赫以上的频率来说，这些验证应该不会有大的出入。在选择一些大厅中其中有少数的表面上是用柔韧的木镶板之类的吸声材料铺设的，这种材料对低频的吸声很有效。对那些表面上指定了适当的吸声系数后，这几个大厅也包括在为验证新假设的一组大厅之中（列于表4）。

为了遵照上面的规定，方程式(1)和(2)式应改写为：

$$\bar{\alpha}_{sab} = 0.161 \cdot \left(\frac{V}{S}\right) \left(\frac{1}{T}\right) - 4m \left(\frac{V}{S}\right) \quad (5)$$

$$\bar{\alpha}_{sab} = \frac{S_T \alpha_T + S_R \alpha_R}{S} \quad (6)$$

式中， S_T = 听众、合唱队和乐队所占的地板面积，(包括宽度1米以内的过道)*； S_R = 房间其余表面积，包括楼厅底下的表面； $S = S_R + S_T$ ； α_T = 占地板面积为 S_T 的听众、合唱队和乐队的吸收系数； α_R = 房间其他表面的平均吸收系数，其中包括墙、平顶、门、通风栅、玻璃、风琴开口、雕塑、灯架和楼厅底下表面等等的平均吸声值。

因为 $S = S_T + S_R$ ，又假定 $V/S = 3^{**}$ ，从方程(5)与(6)可解得：

$$6.2 \left(\frac{S_T}{V}\right) (\alpha_T - \alpha_R) + 2.04 \alpha_R = \left(\frac{1}{T}\right) + 24.8 m \quad (7)$$

当(7)式的 $(1/T)$ 对 (S_T/V) 作图，结果是一根直线，直线的斜率为 $6.2(\alpha_T - \alpha_R)$ ，在 $(S_T/V) = 0$ 上的线段是 $1/T = (2.04 \alpha_R + 24.8 m)$ 。因此， α_T 和 α_R 就可以求得。

图2和图3是500~1000和4000赫时的典型作图，(对125, 250和2000赫也有类似的结果图

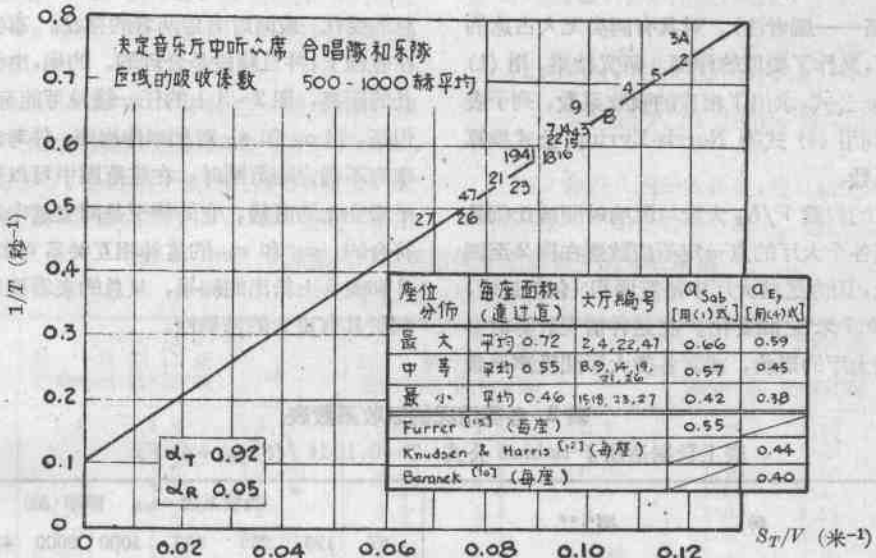


图2 混响时间(测量值)的倒数对总的占座面积(即听众席面积加1米的过道加——如果有的话——合唱队席位再加乐队席位的面积)同大厅体积之比的图，大厅中的吸声材料(帷幔等)的数量可以忽略不计。图中插表上三行的“ α ”值，是对 $\alpha_T = 0.92$ 讲的(Sabine公式，或者对或12%的吸收系数讲的 Norris-Eyring公式)。下行是取自 Furrer [12]，Beranek [10]，和 Knudsen-Harris [11] 书上的数值。

* 在计算过道的面积时，要包括听众席区域中宽度在1米(3.5呎)以内的过道，绕听众席边缘1米以内的过道也应该包括在内。但是楼厅前边不必作这种考虑，因为这部分听众的座位是靠楼厅栏杆的。如果过道的宽度大于1米，则超过的数量不作为听众席面积的一部分。包括宽度在1米以内过道的理由，是由于绕听众边缘有声音绕射的缘故。可以估计到，对空座来说，所取的宽度应该比此数为小，恐怕只有此数的一半。

** 这个假定不会阻止结果的正确性，因为这里只是求解的中间步骤。结果的正确性要在表4中分别对每一个大厅进行验证，这时所用的 V/S 值则是实际值。